

## مقاله پژوهشی

## اثر تنفس خشکی بر ویژگی‌های مورفو‌فیزیولوژیکی و بیوشیمیایی گیاه دارویی آویشن بااغی (*Thymus vulgaris L.*)

افسون کامیاب<sup>۱</sup>، داود صمصم‌پور<sup>۲\*</sup>، نوید احمدی نسب<sup>۲</sup> و عبدالنبی باقری<sup>۳</sup>

<sup>۱</sup> گروه علوم باگبانی، دانشکده کشاورزی و منابع طبیعی، دانشگاه هرمزگان، بندرعباس، ایران

<sup>۲</sup> مرکز مطالعات و تحقیقات هرمزگان، دانشگاه هرمزگان، بندرعباس، ایران

<sup>۳</sup> بخش تحقیقات گیاه‌پزشکی، مرکز تحقیقات و آموزش کشاورزی و منابع طبیعی هرمزگان، سازمان تحقیقات، آموزش و ترویج کشاورزی، بندرعباس، ایران

(تاریخ دریافت: ۱۴۰۳/۰۵/۰۶، تاریخ پذیرش نهایی: ۱۴۰۳/۰۶/۰۶)

## چکیده

آویشن بااغی (*Thymus vulgaris L.*) گیاهی معطر و از خانواده نعناعیان که دارای خواص ارزشمند دارویی و تغذیه‌ای است. تنفس خشکی به عنوان یکی از مهم‌ترین تنفس‌های غیرزیستی می‌تواند تأثیرات نامطلوبی بر رشد و عملکرد گیاهان دارویی داشته باشد. به‌منظور بررسی اثر تنفس خشکی بر برخی صفات مورفو‌لولوژیک، فیزیولوژیک و بیوشیمیایی گیاه دارویی آویشن بااغی آزمایشی در قالب طرح کاملاً تصادفی با چهار سطح تنفس خشکی (۰٪، ۵۰٪، ۷۵٪ و ۲۵٪ ظرفیت مزرعه) با سه تکرار در سال ۱۴۰۰ در گلخانه دانشگاه هرمزگان اجرا شد. نتایج حاصل نشان داد که تنفس خشکی (۰٪ ظرفیت مزرعه) سبب کاهش معنی‌دار در طول برگ (۶۴٪)، عرض برگ (۳۳٪)، ارتفاع بوته (۹٪)، طول ریشه (۴٪)، وزن تر (۴٪) و خشک اندام هوایی (۷٪)، وزن خشک ریشه (۷٪)، محتوای رطوبت نسبی (۵٪)، کلروفیل a (۳۱٪)، کلروفیل b (۲۹٪)، کلروفیل کل (۳۱٪) و کاروتینوئیدها (۳۸٪) شد. بیشترین مقدار نشت بونی (۵۶٪)، پرولین (۱۲٪)، کاتالاز (۴٪)، پلی‌فلن اکسیداز (۵٪)، مالون دی‌آلدهید (۸٪)، فلاونوئید (۲۳٪) و آنتوسیانین (۲۹٪) در تیمار تنفس خشکی (۰٪ ظرفیت مزرعه) مشاهده شد. گیاه دارویی آویشن در مقابله با تنفس خشکی با استفاده از مکانیسم‌های دفاعی مختلف واکنش نشان می‌دهد. این مکانیسم‌ها شامل کاهش برخی از ویژگی‌های مورفو‌لولوژیکی برای صرفه‌جویی در مصرف انرژی، تجمع سریع مواد آلی تنظیم‌کننده اسمزی برای حفظ تعادل آبی سلول‌ها و افزایش فعالیت آنزیم‌های آنتی‌اکسیدانی برای مقابله با استرس اکسیداتیو هستند. با این واکنش‌ها، آویشن می‌تواند با عملکرد بالاتر، عناصر غذایی مورد نیاز خود را جذب کرده و به رشد خود ادامه دهد. هدف اصلی این تحقیق ارزیابی تحمل آویشن بااغی به تنفس خشکی و تعیین مناسب‌ترین شرایط (۷۵٪ و ۵۰٪ ظرفیت مزرعه) برای کشت این گیاه در استان هرمزگان بود. با توجه به اینکه آویشن بااغی در این استان به‌طور گسترده کشت نشده است، بررسی واکنش این گیاه به شرایط تنفس خشکی می‌تواند اطلاعات مفیدی برای توسعه کشت این گیاه در مناطق مشابه فراهم کند.

واژگان کلیدی: آنزیم‌های آنتی‌اکسیدانی، آویشن بااغی، پارامترهای بیوشیمیایی، تنفس خشکی

## مقدمه

تنش خشکی بر گیاهان موجب تأثیراتی بر تمام مراحل رشد گیاه، ناهمگونی خاک و دسترسی به عناصر غذایی می‌شود (Yang and Qin, 2023). کمبود آب سبب کاهش رشد رویشی و زیست‌توده می‌شود و در پی آن سبب تغییر و انتقال به مراحل اصلی نمو مثل رشد زایشی می‌شود (Cooper and Messina, 2023; Wang *et al.*, 2023). گونه‌های گیاهی در مناطق خشک و نیمه‌خشک دنیا در معرض تنش‌های مختلف محیطی هستند که بر رشد و عملکرد آنها تأثیرگذار است (Zhao *et al.*, 2023). تنش خشکی با فرآیندهای مانند غیرفعال کردن آنزیم روبیسکو و بسته‌شدن روزندها که منجر به محدودیت انتشار  $\text{CO}_2$  در برگ‌ها می‌شود، موجب تغییر در متابولیسم کربن گیاه از طریق سرکوب فرآیندهای بیوشیمیایی و فیتوشیمیایی می‌شود (Pandey *et al.*, 2023). در شرایط تنش، توسعه رشد رویشی و زایشی گیاهان به‌سبب استفاده از تمام منابع انرژی گیاهی و پیش‌سازهای متابولیک برای تحمل اثرات تنش، محدود می‌شود با توجه به اهمیت بالای گیاهان دارویی و نقش کلیدی آنها در رسیدن به اهداف ملی، منطقه‌ای و جهانی، بررسی شرایط رشد این گیاهان در موقع کم‌آبی و خشکسالی می‌تواند اطلاعات ارزشمندی برای بهینه‌سازی کشت آنها را ارائه دهد. شناخت دقیق این شرایط کمک می‌کند تا راهکارهای مؤثری برای افزایش بهره‌وری و پایداری کشت گیاهان دارویی در شرایط مختلف اقلیمی پیدا شود (Kang *et al.*, 2017). با افزایش آگاهی مردم از فواید گیاهان دارویی و تطابق بهتر این گیاهان با سیستم بدنی انسان، نیاز به استفاده از داروهای گیاهی بیشتر شده است. همچنین، سازمان بهداشت جهانی بر اهمیت جایگزینی داروهای شیمیایی با داروهای گیاهی تأکید می‌کند. این عوامل موجب افزایش روزافزون تقاضا برای مصرف گیاهان دارویی شده‌اند (لرستانی و همکاران, ۱۳۹۷).

بررسی تأثیر تنش خشکی بر گیاه آویشن از اهمیت بسیاری برخوردار است، زیرا این گیاه به‌عنوان یکی از گیاهان دارویی ارزشمند، تحت تأثیر شرایط نامساعد محیطی قرار می‌گیرد. تغییرات مورفو‌فیزیولوژیکی و بیوشیمیایی که در آویشن در مواجه با تنش خشکی رخ می‌دهد، می‌تواند به بهبود عملکرد و

آویشن باگی (*Thymus vulgaris* L.) از خانواده نعناعیان (Labiatae) است که به‌دلیل خواص سلامتی بسیار با ارزش خود، از زمان‌های بسیار قدیم در طب سنتی مورد استفاده قرار می‌گرفته است. این گیاه، یکی از گونه‌های مهم آویشن در بین حدود ۲۵۰ تا ۳۵۰ گونه موجود است (Casiglia *et al.*, 2019) و به‌دلیل اهمیت غذایی و دارویی خود، به‌طور گسترده‌ای در مناطق مختلف جهان مورد استفاده قرار می‌گیرد (Silva *et al.*, 2021). سرشاخه‌های گل دار این گیاهان، به صورت جوشانده یا دم‌کرده، به‌عنوان داروهای ضداسپاسم، ضدانفخ، خلط‌آور و برای درمان سرماخوردگی مورد استفاده قرار می‌گیرند (Abdelshafy Mohamad *et al.*, 2020). خواص دارویی آویشن باگی باعث شده است که این گیاه به یکی از شناخته‌شده‌ترین و پرکاربردترین گیاهان در سراسر جهان تبدیل شود. عوامل متعددی، از جمله تنش‌های محیطی، می‌توانند بر کیفیت و مقدار مواد مؤثره مانند: استروئیدها، گلیکوزیدها، آلکالوئیدها، اسانس‌ها و نیز رشد و عملکرد گیاهان دارویی تأثیر بگذارند (Gharib *et al.*, 2014). علاوه بر این تنش خشکی چالش مهمی است که عملکرد گیاهان دارویی و معطر از جمله آویشن باگی را محدود می‌کند (Bistgani *et al.*, 2024).

خشکسالی عامل اصلی محدودکننده تولید جهانی محصولات کشاورزی است و تنش‌های غیرزیستی معمولاً در طول زندگی گیاهان، به‌ویژه در دوره‌های طولانی‌مدت، بر رشد و عملکرد آنها تأثیر می‌گذارد (Narayanasamy *et al.*, 2023). خشکسالی به‌عنوان یکی از جدی‌ترین تهدیدات زیست‌محیطی که امروزه جهان با آن روبرو است، شناخته می‌شود. پیش‌بینی‌ها نشان می‌دهند که به‌دلیل کاهش بارندگی و افزایش تبخیر ناشی از تغییرات اقلیمی جهانی، این پدیده در بسیاری از مناطق شدت و فراوانی بیشتری خواهد یافت. علاوه‌براین، گرمایش جهانی الگوهای بارش را غیرقابل پیش‌بینی کرده و باعث تکرار دوره‌های طولانی خشکسالی در سراسر جهان شده است (Rasheed *et al.*, 2023). پیامدهای

آنٹی اکسیدانی (کاتالاز، پلی‌فنل اکسیداز و پراکسیداز) شد (Azizi et al., 2024). با عنایت به اینکه کشور ایران در کمرنگ خشک و نیمه‌خشک جهان واقع شده و با توجه به کاهش میزان بارندگی در سال‌های اخیر، کمبود آب یکی از معضلات کشت گیاهان دارویی است. کشت گیاهان دارویی زمانی مقرر نشان خشکی و توسعه روش‌های مناسب برای افزایش تحمل گیاهان دارویی به شرایط خشک کمک می‌کند (Bistgani et al., 2024).

### مواد و روش‌ها

این آزمایش در گلخانه دانشگاه هرمزگان در سال ۱۴۰۰ اجرا شد. برای انجام آزمایش از بذور آویشن باگی (T. vulgaris) (ایران)، خریداری شده از شرکت رشد کشاورزی حاتم واقع در شهر شیراز استفاده شد. آزمایش گلدانی در چهار سطح تنش تنش خشکی (۱۰۰٪، ۷۵٪، ۵۰٪ و ۲۵٪ ظرفیت مزرعه) در قالب طرح کاملاً تصادفی با سه تکرار و اعمال تیمارهای تنش خشکی براساس روش وزنی انجام شد. در ابتدا، به مقدار یکسانی سنگریزه در کف هر گلدان ریخته (برای انجام زهکشی) و با استفاده از ترازو، خاک درون هر گلدان به طور یکسان پر شد (۷ کیلوگرم خاک در هر گلدان). سپس با افزودن آب، خاک هر گلدان به حد اشباع رسید و به مدت ۲۴ ساعت روی سطح مشبك قرار گرفت تا آب اضافی خاک خارج شود. در این مرحله، وزن گلدان‌ها به حالت پایدار رسید و تغییرات قابل توجهی مشاهده نشد و خاک آن‌ها با دمای ۱۰۵ درجه سانتی‌گراد به مدت ۴۸ ساعت کاملاً خشک شد. پس از تعیین درصد وزنی رطوبت خاک در حد ظرفیت زراعی، مقدار رطوبت موجود در خاک برای اعمال تیمارهای رطوبتی مختلف مشخص شد. برای کنترل وزن خشک بوته‌ها، هر تیمار رطوبتی دارای گلدان اضافی بود تا وزن خشک بوته‌ها به وزن خشک گلدان‌ها اضافه شود و در نتیجه مقدار صحیحی از آب در زمان

کیفیت ترکیبات فعال دارویی این گیاه کمک کند. پژوهش‌های گستردۀای در این زمینه انجام شده تا راهکارهای مؤثری برای مدیریت و بهینه‌سازی کشت آویشن در شرایط کم‌آبی پیدا شود. این مطالعات به شناخت بهتر واکنش‌های گیاه در برابر تنش خشکی و توسعه روش‌های مناسب برای افزایش تحمل گیاهان دارویی به شرایط خشک کمک می‌کند (Khorasaninejad et al., 2011).

تأثیر تنش خشکی به مدت چهار ماه در پنج سطح (۱۰۰٪، ۸۵٪، ۷۰٪، ۶۰٪ و ۴۵٪ ظرفیت مزرعه)، بر پارامترهای رشدی در گیاه نعناع فلفلی نشان داد که تنش خشکی، کاهش معنی‌داری بر کلیه پارامترهای رشد و عملکرد گیاه داشت (Rosmarinus officinalis) (Moradi et al., 2014). در مطالعه‌ای، اثر چهار فاصله آبیاری (۳، ۵، ۷ و ۱۰ روز) بر عملکرد گیاه آویشن بررسی شد. گیاهانی که فاصله آبیاری کمتری داشتند (سه روز یکبار)، دارای ارتفاع بلندتر و وزن تر و خشک بیشتر نسبت به گیاهانی که فاصله آبیاری بیشتری داشتند (۵، ۷ و ۱۰ روز یکبار) بودند (Laftouhi et al., 2024).

در مطالعه‌ای که به بررسی تأثیر سطوح مختلف تنش آبی (۴۰٪، ۶۰٪ و ۸۰٪ ظرفیت مزرعه) بر اسانس‌های گیاه رزماری (Rosmarinus officinalis) انجام شده بود، نتایج نشان داد که افزایش تنش آبی منجر به تغییراتی در متابولیت‌های اولیه و ثانویه، محتوای اسانس و صفات فیزیکی گیاه شد (Kong et al., 2023).

تشخیص سبب تأثیر منفی بر تولید، رشد، نمو و عملکرد Panax ginseng (Panax) شد (Bahreininejad et al., 2013).

تشخیص سبب تأثیر منفی بر تولید، رشد، نمو و عملکرد Lens culinaris (عدس) باعث کاهش کلروفیل a، کلروفیل b، کاروتینوئیدها، پروتئین و پرولین، عملکرد و اجزای عملکرد شد. کاهش این صفات در شش روز پس از تنش چشمگیرتر بود. علاوه‌براین، تنش خشکی باعث افزایش میزان هیدروژن پراکسید و مالون دی‌آلدهید شد همچنین، باعث افزایش فعالیت آنزیم‌های

بلانک دستگاه برای کالیبرهشدن آن استفاده و سپس محاسبه شدند (Lichtenthaler and Buschmann, 2001) (برای اندازه-گیری میزان محتوای آب نسبی برگ (Relative water content) از روش (Morgan, 1984) صورت گرفت و درصد نشت الکتروولیت با استفاده از روش Sairam و همکاران (۲۰۰۲) تعیین شد. جهت محاسبه میزان پرولین از روش Bates و همکاران (۱۹۷۳) و از تولوئن به عنوان بلانک در طول موج ۵۲۰ نانومتر استفاده شد. میزان مالون دی‌آلدئید (MDA)، از روش Du و Bramlage (Bramlage, ۱۹۹۲)، در طول موج های (TCA) ۰٪ و ۵۳۲ نانومتر محاسبه و از محلول ۰٪ (تری‌کلرو استیک اسید)، جهت بلانک دستگاه استفاده شد. فعالیت پلی‌فنل اکسیداز و کاتالاز به ترتیب با روش Bergmeyer (Bergmeyer, ۲۰۱۲) و Hasanuzzaman و همکاران (Hasanuzzaman, ۲۰۱۳) انجام شد. محتوای آنتوسیانین و فلاونوئید کل نیز به ترتیب با روش Nadernejad و همکاران (Nadernejad, ۲۰۰۵) و Savage (Savage, ۲۰۱۳) و Toor (Toor, ۲۰۰۵) انجام شد.

آزمایش در قالب طرح کاملاً تصادفی (CRD) و نرمال بودن داده‌ها با استفاده از آزمون Shapiro (Shapiro and Wilk, 1965). داده‌های جمع‌آوری شده تجزیه واریانس شدند و مقایسه میانگین داده‌های مربوط حاصل از تیمار گیاهان با سطوح تنش خشکی بر اساس آزمون LSD با سطح احتمال ۵٪ ( $P < 0.05$ ) با استفاده از نرم‌افزار SAS نسخه ۹/۴ انجام و نمودارها در نرم‌افزار اکسل رسم شد. تجزیه و تحلیل خوشه‌ای و PCA با استفاده از نرم‌افزار XLSTAT (XLSTAT, ۲۰۲۱) انجام شد. نقشه حرارتی (HCA) و تجزیه و تحلیل همبستگی پیرسون با استفاده از SRPLOT (آنلاین) انجام شد. همچنین، نمونه خاک مورد استفاده در گلدان‌ها نیز قبل از اعمال تنش خشکی آنالیز شد (جدول ۱).

## نتایج و بحث

نتایج تجزیه واریانس داده‌ها نشان داد که تیمار تنش خشکی بر صفات مورفولوژیکی آویشن بجز وزن تر ریشه در سطح ۱٪ معنی‌دار بود (جدول ۲). براساس نتایج مقایسه میانگین داده‌ها،

اعمال تیمارهای رطوبتی به هر گلدان تخصیص یافت (Mozaffari and Gorgini Shabankareh, 2016) (سپس جهت تعیین رژیم‌های آبیاری، رطوبت هر کدام از گلدان‌ها روزانه اندازه‌گیری و به محض اینکه رژیم‌هایی که درصد وزنی رطوبت خاک مربوط به آن، به درصد ظرفیت زراعی موردنظر می‌رسید آبیاری در هر تیمار انجام می‌شد.

بذور آویشن ابتدا با هیپوکلریت سدیم ۵٪ در سینی‌های حاوی پیت‌ماس سترون در اواسط مردادماه کشت شدند. گیاهچه‌های آویشن با چهار شاخه فرعی پس از دو ماه در مهرماه از سینی‌های نشا به گلدان‌های با ابعاد  $21 \times 21$  سانتی‌متر منتقل شدند. جهت ایجاد بستر مناسب پیت‌ماس، ماسه بادی و کود پوسیده دامی باهم مخلوط و در دمای ۱۲۰ درجه سانتی‌گراد به مدت ۲۰ دقیقه اتوکلاو شدند. سپس در دمای ۲۵ تا ۳۰ درجه سانتی‌گراد و رطوبت ۶۰–۷۰٪ در گلخانه دانشگاه هرمزگان نگهداری شدند. پس از چهار ماه از انتقال گیاهچه‌ها از سینی نشا به گلدان و اطمینان از استقرار کامل گیاه (با ۱۰ تا ۱۲ شاخه فرعی) و در دوره رشد رویشی (پس از ۶ ماه از زمان کاشت بذر در سینی نشا) در اواخر دی ماه تنش خشکی به مدت شش هفته اعمال شد و دو ماه بعد از اعمال تنش پس از کامل شدن رشد رویشی در فروردین ماه گیاهان جمع‌آوری و نمونه‌ها تا زمان اندازه‌گیری در دمای ۸۰–۸۰ درجه سانتی‌گراد نگهداری شدند.

برای اندازه‌گیری ارتفاع گیاه از طوفه تا آخرین برگ، اندازه‌گیری طول و عرض برگ، طول اندام هوایی و ریشه، از خطکش میلی‌متری و جهت اندازه‌گیری وزن تر و خشک اندام هوایی و ریشه از ترازوی دیجیتال با دقت ۰.۰۰۱ استفاده شد. برای اندازه‌گیری وزن خشک اندام هوایی و ریشه، بعد از توزین وزن تر، اندام‌ها به صورت مجزا در پاکت‌های آلومینیومی قرار داده و به مدت ۲۴ ساعت در دمای ۶۰ درجه سانتی‌گراد خشک و سپس وزن شدند.

میزان کلروفیل‌های a, b، کل و کاروتینوئیدهای برگ‌ها به روش الایزا و اسپکتروفوتومتری مدل (Cecil CE2501)، در طول موج‌های ۴۷۰، ۶۶۳ و ۶۴۵ نانومتر و از استون ۸۰٪ به عنوان

جدول ۱- ویژگی‌های فیزیکی و شیمیایی خاک گلدان‌ها قبل از اعمال تنش خشکی به آویشن باغی

مشخصات فیزیکی و شیمیایی نمونه خاک گلدان	واحد	مقدار
هدایت الکتریکی (EC)	میکروزیمنس بر سانتی‌متر	۲۸۸۰
اسیدیت	pH	۷/۷۶
درصد شن	درصد	۸۴/۰۰
درصد سیلت	درصد	۵/۵
درصد رس	درصد	۶/۰۰
درصد کربن آلی	درصد	۱۰/۴
فسفر قابل جذب	واحد در میلیون*	۵/۹۶
پتاسیم قابل جذب	واحد در میلیون	۷۴/۶۰
مس قابل جذب	واحد در میلیون	۰/۳۱۲
منگنز قابل جذب	واحد در میلیون	۲/۳۸
آهن قابل جذب	واحد در میلیون	۴/۱۲
روی قابل جذب	واحد در میلیون	۱۰/۲۶
کربنات $\text{CO}_3^{2-}$	میلی‌اکی‌والان در لیتر	۳/۰۰
بیکربنات $\text{HCO}_3^-$	میلی‌اکی‌والان در لیتر	۶/۲
کلر $\text{Cl}^-$	میلی‌اکی‌والان در لیتر	۱۶/۰۰

جدول ۲- نتایج تجزیه واریانس اثر تنش خشکی بر پارامترهای مورفولوژی آویشن باغی

منابع تغییرات									
تنش خشکی	آزادی	برگ برق	عرض برق	ارتفاع	طول	وزن تر ساقه	وزن تر	وزن خشک ساقه	وزن خشک ریشه
تنش خشکی	۳	۰/۰۳۲**	۰/۰۰۱**	۲/۹۶**	۱/۳۴**	۰/۱۱**	۰/۰۶**	۰/۰۱ns	۱/۲۲**
خطای آزمایش	۸	۰/۰۰۰۱	۰/۰۰۰۱	۰/۰۰۶	۰/۰۲۰	۰/۰۱	۰/۰۱	۰/۰۳۴	۰/۰۳۴
ضریب تغییرات (%)	۳/۷۷	۷/۸۴	۱/۴۹	۱/۰۳	۲/۵	۱/۰۳	۰/۰۲۶	۰/۰۱	۱/۰۱

\*، \*\* و ns به ترتیب معنی‌دار در سطح احتمال ۵٪ و ۱٪ و غیرمعنی‌دار

خشکی ۷۵٪ و ۵۰٪ ظرفیت مزرعه اختلاف معنی‌داری مشاهده نشد. همچنین، شدیدترین تیمار تنش خشکی ۲۵٪ ظرفیت مزرعه به‌طور معنی‌داری سبب کاهش طول ریشه گیاه (۴/۴۹٪)، وزن تر ساقه (۴۰٪) و وزن خشک ساقه (۷/۵٪) شد. مقایسه میانگین داده‌ها نشان داد که تیمار تنش خشکی ۵۰٪ و ۲۵٪ ظرفیت مزرعه به‌طور معنی‌داری به ترتیب سبب کاهش وزن تر ریشه (به‌میزان ۰/۳٪ و ۰/۶٪) و وزن خشک ریشه (به‌میزان ۱/۳٪ و ۰/۷٪) شد (جدول ۳).

بقای گیاهان در شرایط نامساعد محیطی به توانایی آن‌ها

تیمار تنش خشکی شدید (۲۵٪ ظرفیت مزرعه) به‌طور معنی‌داری سبب کاهش طول برگ به‌میزان ۶۴٪ در مقایسه با شاهد شد و بین تنش خشکی ۷۵٪ و ۵۰٪ ظرفیت مزرعه نیز اختلاف معنی‌داری مشاهده شد. تیمار تنش خشکی (۵٪ و ۲۵٪ ظرفیت مزرعه) به‌طور معنی‌داری به ترتیب سبب کاهش عرض برگ به‌میزان ۲۰٪ و ۳۳٪ نسبت به شاهد شد. مقایسه میانگین ارتفاع گیاه نشان داد که تیمار تنش خشکی (۲۵٪ ظرفیت مزرعه) به‌طور معنی‌داری سبب کاهش ارتفاع گیاه به‌میزان ۱۳/۵٪ نسبت به شاهد شد، درحالی‌که بین تنش

جدول ۳- مقایسه میانگین پارامترهای مورفولوژی آویشن با غی تنش خشکی

تیمار مزرعه	ظرفیت طول برگ	عرض برگ (سانتی متر)	ارتفاع بوته (سانتی متر)	وزن ریشه (گرم)	وزن ساقه (گرم)	وزن خشک ساقه (گرم)	وزن خشک ریشه (گرم)	وزن تر ریشه
۱۰۰	۰/۳۹±۰/۰۲ <sup>a</sup>	۰/۱۵±۰/۰۲۹ <sup>a</sup>	۱۷/۶۱±۱/۰۵۱ <sup>b</sup>	۶/۵۵±۰/۰۴۳ <sup>a</sup>	۴±۰/۰۶۹ <sup>a</sup>	۹/۹±۰/۱۷ <sup>a</sup>	۱۴/۴۵±۰/۰۶۷ <sup>a</sup>	۱/۴۴±۰/۰۲۶ <sup>a</sup>
۷۵	۰/۲۹±۰/۰۴۶ <sup>b</sup>	۰/۱۴±۰/۰۰۱ <sup>a</sup>	۱۶/۷±۰/۰۳۲ <sup>b</sup>	۶/۵۴±۰/۰۴۰ <sup>a</sup>	۴±۰/۰۸۳ <sup>a</sup>	۹/۷±۰/۱۷ <sup>b</sup>	۱۴/۴۵±۰/۰۸۸ <sup>a</sup>	۱/۴۳±۰/۰۶۰ <sup>a</sup>
۵۰	۰/۲۴±۰/۰۴۰ <sup>c</sup>	۰/۱۲±۰/۰۰۱ <sup>b</sup>	۱۶/۴۳±۰/۰۰۱ <sup>a</sup>	۶/۵۳±۰/۰۴۴ <sup>a</sup>	۳/۹±۰/۰۸۶ <sup>a</sup>	۹/۵±۰/۰۲۴۶ <sup>c</sup>	۱۴±۰/۰۳۸۱ <sup>b</sup>	۱/۴۲±۰/۰۳۶ <sup>a</sup>
۲۵	۰/۱۴±۰/۰۲۷ <sup>d</sup>	۰/۱۰±۰/۰۰۴ <sup>c</sup>	۱۵/۲۳±۰/۰۸۱۷ <sup>c</sup>	۶/۴۴±۰/۰۵۷ <sup>a</sup>	۳/۷±۰/۱۶ <sup>b</sup>	۹/۵±۰/۰۳۳۱ <sup>c</sup>	۱۳/۸±۰/۰۸۴۳ <sup>c</sup>	۱/۳±۰/۰۵۴ <sup>b</sup>

میانگین دارای حروف مشابه اختلاف معنی دار در سطح ۵٪ بر اساس آزمون LSD ندارند.

تنش خشکی در گیاهان، کاهش آamas و درنهایت کاهش رشد سلول و عملکرد است (Rahimi *et al.*, 2018). با کاهش رشد سلولی، اندازه اندامها نیز کاهش می‌یابد و به همین دلیل، اولین تأثیر تنش خشکی معمولاً به شکل کاهش اندازه برگ‌ها و بسته به مرحله رشد، در کاهش ارتفاع گیاهان نیز قابل مشاهده است (Hlavacova *et al.*, 2018). کاهش عملکرد گیاه، به دلیل اختلاف پتانسیل آب در طول دوره تنش خشکی و در نتیجه Hassan *et al.*, (2021) کاهش زیست‌توده در شرایط تنش خشکی شدید (et al., 2021). کاهش زیست‌توده در علت اختلال در رشد رویشی، عملکرد فتوستنتزی، جذب مواد غذایی، متابولیسم نیتروژن و فشار آamas سلولی ناشی از کاهش سطح برگ‌ها باشد (Nteve *et al.*, 2024).

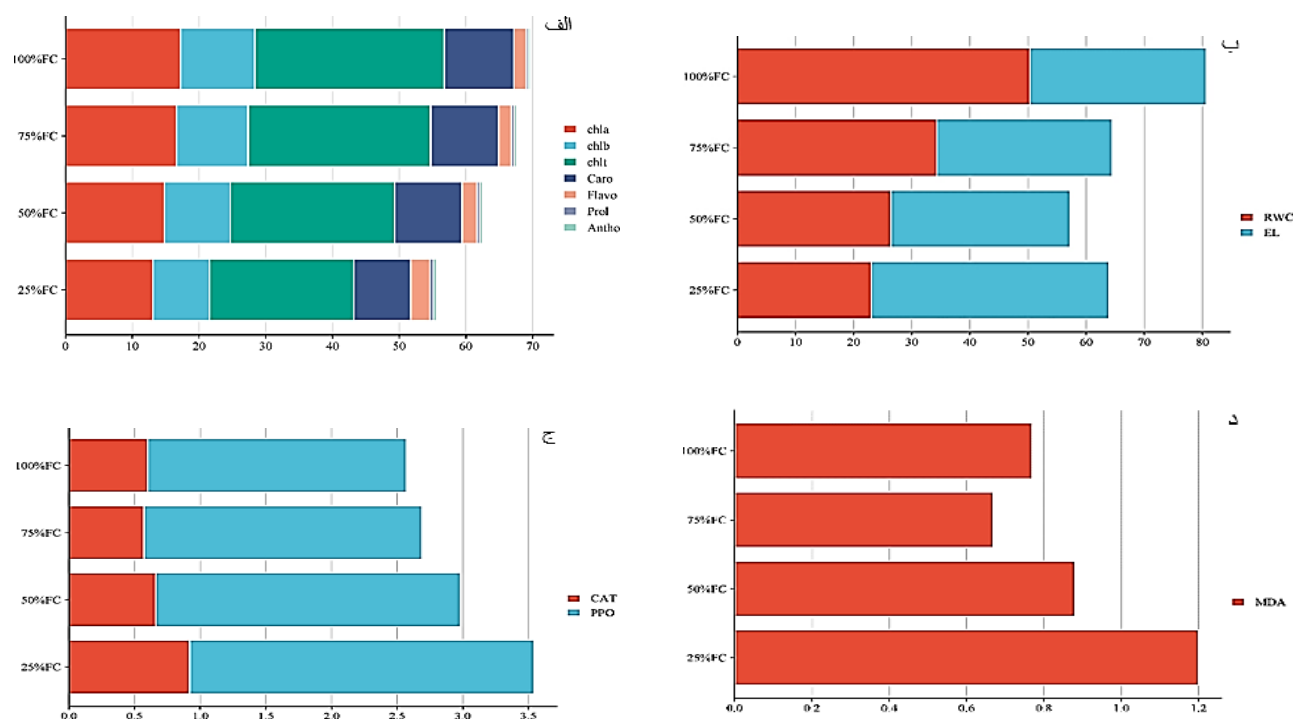
**پارامترهای فیزیولوژیک:** نتایج تجزیه واریانس داده‌ها نشان داد که تیمار تنش خشکی بر پارامترهای فیزیولوژیک آویشن در سطح ۱٪ معنی دار بود (جدول ۴). براساس مقایسه میانگین داده‌ها، بیشترین میزان کلیه رنگیزه‌های فتوستنتزی مربوط به شاهد و تیمار تنش خشکی ۷۵٪ ظرفیت مزرعه و کمترین مقدار این صفات با تفاوت معنی دار مربوط به تیمار تنش خشکی ۲۵٪ ظرفیت مزرعه بود. میزان کاروتوئینید در سطوح تنش خشکی ۷۵٪ و ۵۰٪ ظرفیت مزرعه با هم تفاوت معنی داری نداشتند. مقایسه میانگین محتوای آب نسبی نشان داد، بیشترین میزان مربوط به شاهد و کمترین میزان مربوط به تیمار تنش خشکی ۲۵٪ ظرفیت مزرعه بود. بیشترین میزان نشت یونی متعلق به تنش خشکی ۲۵٪ ظرفیت مزرعه و کمترین میزان آن مربوط به شاهد بود (شکل ۱ و B). نتایج

برای انطباق با تغییرات فیزیولوژی و ساختاری در سیستم متابولیک داخلی شان وابسته است (Chiappero *et al.*, 2019). نتایج پژوهش حاضر در راستای گزارشات دیگر پژوهشگران نشان داد که تنش خشکی تأثیر منفی بر رشد گیاهان دارد و موجب محدودیت در رشد آن‌ها می‌شود، مطابقت دارد (Nor et al., 2021). در این مطالعه، مشاهده شد گیاهانی که تحت تنش خشکی شدید (۲۵٪ ظرفیت مزرعه) رشد کرده‌اند، در مقایسه با شاهد، کاهش معنی داری در همه صفات مورفولوژی اندازه‌گیری شده داشتند. تنش خشکی باعث کاهش فشار تورگر می‌شود که به نوبه خود منجر به کاهش رشد و توسعه سلولی در بخش‌های هوایی گیاه به‌ویژه ساقه و برگ‌ها می‌شود. کاهش صفات مورفولوژیک در شرایط تنش خشکی در گیاهان آویشن باعی در این پژوهش، با نتایج مشابه در دیگر گیاهان دارویی مانند نعناع (Mentha piperita) (Shadkam *et al.*, 2024) زنجبل (Zingiber officinale) (Zhu *et al.*, 2024) مریم (Silybum marianum) (Fanai *et al.*, 2024) هم‌خوانی داشت. نتایج پژوهش‌ها نشان داد مقدار وزن خشک ساقه، ریشه و وزن خشک کل سه نوع نخود تحت تنش خشکی به‌طور معنی داری کاهش یافت که علت کاهش شاخص‌های رشدی ممکن است به دلیل کاهش سرعت فتوستنتز و به دنبال آن بسته‌شدن روزنه‌ها و کاهش سطح برگ در پاسخ به تنش خشکی باشد (Nasr Esfahani, 2013). نتایج مشابهی در پژوهشی که توسط Rahimi و همکاران (۲۰۱۸) روی گیاه نعناع تحت سطوح تنش خشکی (۲۵٪، ۵۰٪ و ۷۵٪ ظرفیت مزرعه) انجام شد، گزارش شده است. یکی از اولین نشانه‌های

جدول ۴- نتایج تجزیه واریانس اثر تنش خشکی بر صفات فیزیولوژی آویشن باعی

درجه آزادی	منابع تغییرات	نشت یونی	کلروفیل b	کلروفیل a	کاروتینید	کاروفیل کل	۴۴۳/۴۸**	۸۲/۱۶**
۳	تشخیق خشکی							
۸	خطای آزمایش							
(%)	ضریب تغییرات							

\*\* معنی دار در سطح احتمال ۱٪



شکل ۱- مقایسه میانگین صفات فیزیولوژیکی نمودار الف: Chl a کلروفیل، Chl b کلروفیل، Chl t کلروفیل کل، Caro کاروتینید، نمودار ب: (RWC محتوای آب نسبی، EL نشت یونی) و صفات بیوشیمیایی نمودار الف: (Prol پرولین، Antho آنتوسیانین، Flavo فلاونوئید)، نمودار ج: (PPO پلی‌فنل اکسیداز و CAT کاتالاز) و نمودار د: (MDA مالون دی‌آلدهید) تحت سطوح تنش خشکی (۱۰۰٪، ۷۵٪، ۵۰٪ و ۲۵٪ ظرفیت مزرعه).

می‌تواند باعث آسیب به غشای سلول‌های گیاهی به‌دلیل تجزیه پروتئین‌ها، تخریب کلروفیل و اکسیداسیون رنگدانه شود. زیرا تنش‌های غیرزیستی با از بین بردن آنزیم‌هایی که مسئول تولید انواع رنگیزه‌ها هستند و فعالیت آنزیم‌هایی که سبب از بین بردن کلروفیل‌ها می‌شوند (کلروفیلاز و پراکسیداز) سبب کاهش رنگیزه‌ها می‌شوند (Lata et al., 2018). تخریب پروتئین‌های غشا تیلاکوئیدی، وجود ترکیبات فنلی و اختلال در عملکرد آنزیم‌های سنتز کلروفیل منجر به کاهش کلروفیل در برگ‌های

این پژوهش نشان داد که تنش خشکی در شدیدترین حالت (۲۵٪ ظرفیت مزرعه) سبب کاهش معنی دار میزان کلروفیل‌های a, b، کلروفیل کل و کاروتینیدها می‌شود. از جمله فرآیندهایی که بهشدت تحت تنش خشکی قرار می‌گیرند فتوستتر است. تنش خشکی سبب تجزیه اجزای پلی‌پیتیدی فتوسیستم دو و Khan and Zulfiqa, (2023). آسیب به مرکز تولید اکسیژن می‌شود (Dilley et al., 2023). دلیل کاهش میزان رنگیزه‌ها تحت تنش خشکی، آزادشدن گونه‌های فعل اکسیژن از سلول‌های گیاهی است که

ناتوانی غشا در حفظ ترکیبات درون سلولی، اختلال در فعالیت و انسجام سلولی و خروج بیشتر الکتروولیت‌ها از غشا است. تحقیقی که توسط Asghari و همکاران (۲۰۲۰) انجام شد، نشان داد که تحت شرایط تنفس خشکی، نشت الکتروولیت‌های غشا افزایش می‌یابد و با افزایش شدت و مدت زمان تنفس خشکی، اختلالات قابل توجهی در فعالیت‌های بیولوژیکی غشای سلولی، کاهش سیالیت آن و کاهش کارایی پمپ‌های یون‌های غشایی ایجاد می‌شود. این وضعیت بهنوبه خود باعث افزایش نشت یون‌ها از غشا می‌شود (Asghari et al., 2020).

**پارامترهای بیوشیمیایی:** نتایج تجزیه واریانس داده‌ها نشان داد که تیمار تنفس خشکی بر پارامترهای بیوشیمیایی آویشن در سطح ۱٪ معنی‌دار بود (جدول ۵). براساس نتایج مقایسه میانگین داده‌ها، تیمار تنفس خشکی ۲۵٪ ظرفیت مزرعه سبب افزایش معنی‌داری در میزان پرولین (۵۳/۱۲٪)، کاتالاز (۶۸/۴۷٪)، پلی‌فنل اکسیداز (۵۱/۵۲٪)، مالون دی‌آلدهید (۵۵/۸۴٪)، فلاونوئید (۵۹/۲۳٪) و آنتوسیانین (۶۱/۲۹٪) نسبت به شاهد شد (شکل ۱). براساس نتایج مقایسه میانگین داده‌ها، تیمار تنفس خشکی ۷۵٪، ۵۰٪ و ۲۵٪ ظرفیت مزرعه به‌طور معنی‌داری به ترتیب سبب افزایش آنتوسیانین بهمیزان ۲۷٪، ۱۱٪ و ۳٪ شد، همچنین افزایش سطوح تنفس خشکی به‌طور معنی‌داری سبب افزایش میزان فلاونوئید گردید اما سطوح تیماری ۱۰۰٪ و ۷۵٪ ظرفیت مزرعه تفاوت معنی‌داری با هم نداشتند. براساس نتایج مقایسه میانگین تیمار تنفس خشکی به‌طور معنی‌داری سبب افزایش میزان پلی‌فنل اکسیداز و مالون دی‌آلدهید شد، بهنحوی که در شدیدترین سطح تنفس خشکی (۲۵٪ ظرفیت مزرعه) به ترتیب سبب افزایش ۵۰٪ و ۵۵٪ این صفات شد. تنفس خشکی موجب افزایش میزان کاتالاز شد به‌طوری که سطوح تنفس خشکی ۵۰٪ و ۲۵٪ ظرفیت مزرعه به‌طور معنی‌داری به ترتیب سبب افزایش کاتالاز بهمیزان ۳۵٪ و ۶۱٪ گردید.

نتایج این پژوهش نشان داد که تنفس خشکی در سطوح مختلف به‌طور معنی‌داری موجب افزایش پرولین شد. در مطالعات متعدد، افزایش میزان پرولین در پاسخ به تنفس خشکی

گیاهان تحت شرایط تنفس خشکی می‌شود. کاروتوتوئیدها نقش حفاظتی در سیستم فتوستراتی دارند و اغلب با شاخص‌های Gai et al., 2024 تحمل به تنفس خشکی همبستگی زیادی نشان می‌دهند (

در پژوهش حاضر محتوای آب نسبی برگ در شرایط تنفس خشکی (۲۵٪ ظرفیت مزرعه) نسبت به شاهد کاهش یافت. مطالعات انجام‌شده روی گیاهان دارویی نظری اسطوخودوس (Lavandula angustifolia) (Yarnia et al., 2024) و گل (Kumar et al., 2024) (Hypericum perforatum) راعی (Kumar et al., 2024) (Hypericum perforatum) کاهش محتوای آب نسبی برگ تحت تنفس خشکی را نشان داد. محتوای آب نسبی برگ در گیاهان بهترین معیار جهت تشخیص وضعیت آب در گیاهان است (Altaf et al., 2021)، زیرا با میزان تعرق گیاه نسبت عکس دارد و در نتیجه سایر فعالیت‌های متابولیکی گیاه را نیز تحت تأثیر قرار می‌دهد (Madouh and Quoreshi, 2023). پوپولا (۲۰۲۴) اشاره کرد که تنفس خشکی باعث آسیب به غشای سلول، افزایش نشت مواد محلول به خارج و در نتیجه کاهش محتوای آب نسبی برگ در برگ‌ها می‌شود. تغییر در محتوای رطوبت برگ به عنوان یک واکنش کوتاه مدت به تنفس است و معیاری ازPopoola et al., 2024) توانایی حفظ منابع در شرایط تنفس خشکی است (توانایی حفظ منابع در شرایط تنفس خشکی است (Popoola et al., 2024). در پژوهش حاضر با افزایش شدت تنفس خشکی میزان نشت الکتروولیت نیز افزایش یافت، افزایش میزان نشت الکتروولیت نشان‌دهنده میزان تراوایی غشا و آسیب دیدن غشای سلول است. تنش‌های محیطی با ایجاد رادیکال‌های آزاد اکسیژن سبب کاهش پایداری غشا و افزایش انتشار مواد سیتوپلاسمی از آن شده، در نتیجه افزایش نشت الکتروولیت را موجب می‌شود (Bouremani et al., 2023). مشابه این نتایج Azizzadeh ) (Althaea officinalis L. (Azizzadeh ) (Althaea officinalis L.) (Namin and Heshmati, 2024 Cuminum (Namin and Heshmati, 2024) و زیره‌سبز (Shojaei Baghini and Naghizadeh, 2024) (cuminum L. گزارش شده است. با توجه به تأثیرات تنفس‌ها بر گیاه، نشت الکتروولیت به عنوان یک عامل پیش‌بینی‌کننده آسیب به غشا مورد بررسی قرار گرفته است. افزایش نشت یونی به معنای

جدول ۵- نتایج تجزیه واریانس اثر تنش خشکی بر صفات بیوشیمیایی آویشن باگی

منابع تغییرات	آزادی	درجه	پلی فنل اکسیداز	کاتالاز	آنتوسینین	فلاؤنونئید	مالون دی‌آلدهید	پروولین
تنش خشکی	۳		۲/۴۸**	۰/۶۲**	۰/۰۴۶**	۲/۳۴**	۰/۶۷**	۰/۰۳۶**
خطای آزمایش	۸		۰/۰۰	۰/۰۰	۰/۰۰	۰/۰۰	۰/۰۰	۰/۰۰
ضریب تغییرات (%)			۰/۸۵	۱/۵۸	۳/۴۲	۱/۲۲	۱/۲۴	۲/۹۵

\*\* معنی دار در سطح احتمال ۱٪

(2024). محتوای فلاؤنونئید کل تحت تنش خشکی شدید افزایش یافت. تنش خشکی سبب افزایش محتوای فلاؤنونئید در چای سیاه (*Camellia sinensis*) (Li *et al.*, 2024) و قره‌قات (*Ribes khorasanicum*) (Yazdi *et al.*, 2018) شد. فلاؤنونئیدها به دلیل ویژگی‌های آنتی‌اکسیدانی و ضدالتهابی خود، می‌توانند به ثبیت ساختارهای سلولی و محافظت از آن‌ها در برابر آسیب‌های ناشی از تنش خشکی پردازند و به عنوان رنگدانه‌های حفاظتی عمل کرده و به کاهش اثرات منفی نور شدید و سایر عوامل محیطی کمک کنند. گیاهان در شرایط تنش خشکی مجبور به افزایش تولید فلاؤنونئیدها به عنوان یک مکانیسم دفاعی هستند تا به بهبود تحمل خود در برابر شرایط سخت کمک کنند. این ترکیبات می‌توانند به تنظیم استراتژی دفاعی مهم عمل می‌کنند که به گیاهان کمک می‌کند تا با آسیب‌های محیطی مقابله کرده و زنده بمانند (Yang *et al.*, 2020). نتایج این مطالعه نشان داد که تنش خشکی به طور معنی‌داری سبب افزایش آنتوسبینین شد. افزایش مقدار آنتوسبینین تحت تنش خشکی در چای سیاه (Li *et al.*, 2024) و قره‌قات (Yazdi *et al.*, 2018) گزارش گردید. در شرایط تنش خشکی شدید، محتوای آنتوسبینین کل در گیاهان افزایش می‌یابد زیرا این ترکیبات به عنوان واکنش دفاعی در برابر آسیب‌های اکسیداتیو عمل می‌کنند و با از بین گونه‌های فعال اکسیژن و محافظت از ساختارهای سلولی، به کاهش آسیب‌های ناشی از تنش خشکی و نور شدید کمک می‌کنند.

در گیاهان دارویی مانند ختمی دارویی (Azizzadeh *et al.*, 2024) و زیره‌سبز (Shojaei *et al.*, 2024) گزارش شده است. پروولین اسمولیت سازگار در تنظیم اسمزی سلول‌ها است که در تنش خشکی نقش بهسازایی دارد؛ از این‌رو مقدار آن در گیاهان تحت تنش خشکی بررسی می‌شود. میزان پروولین تحت تنش کم‌آبی نسبت به سایر آمینواسیدها در گیاهان، سریع‌تر بالا می‌رود از این‌رو به عنوان شاخص ارزیابی برای برنامه‌ریزی آبیاری و برای انتخاب واریته‌های مقاوم به تنش خشکی پیشنهاد شده است (Mehrasha *et al.*, 2022). پروولین دارای قدرت بالایی در حفظ رطوبت است و به همین دلیل می‌تواند به عنوان یک عامل محافظ در ساختار سلول عمل کند. در موقعی که گیاه آسیب می‌بیند، پروولین با پروتئین‌ها واکنش داده و یک چارچوب آب‌گریز ایجاد می‌کند که به ثبیت و حفاظت از ماکرومولکول‌های بیولوژیکی و ساختارهای غشای سلولی کمک می‌کند (Osakabe *et al.*, 2014). در شرایط تنش خشکی، تولید گونه‌های فعال اکسیژن (ROS) در گیاهان افزایش می‌یابد که می‌تواند به سلول‌ها آسیب بزند. برای مقابله با این آسیب‌ها، گیاهان به طور طبیعی آنزیم‌های آنتی‌اکسیدانی مانند کاتالاز، پراکسیداز و پلی‌فنل اکسیداز را تولید می‌کنند. این آنزیم‌ها نقش مهمی در تجزیه و ختشی‌سازی ROS دارند و به حفظ سلامت سلول‌ها کمک می‌کنند. کاتالاز به تجزیه پراکسید هیدروژن به آب و اکسیژن می‌پردازد، پراکسیداز به کاهش ROS کمک می‌کند و پلی‌فنل اکسیداز نیز در این فرآیند مؤثر است. افزایش فعالیت این آنزیم‌ها به گیاهان اجازه می‌دهد تا از آسیب‌های ناشی از تنش اکسیداتیو جلوگیری کنند و در شرایط سخت تنش خشکی به بقای خود ادامه دهند (Koc *et al.*, 2014).

هر صفت نسبت به شرایط تنش خشکی هستند. رنگ قرمز افزایش و رنگ آبی کاهش را نشان می‌دهد. شدت رنگ نشان دهنده میزان تغییرات است که شامل قرمز پررنگ (افزایش زیاد)، آبی پررنگ (کاهش زیاد) و سفید (تغییرات کم) هستند.

بررسی صفات شامل موارد زیر بودند:

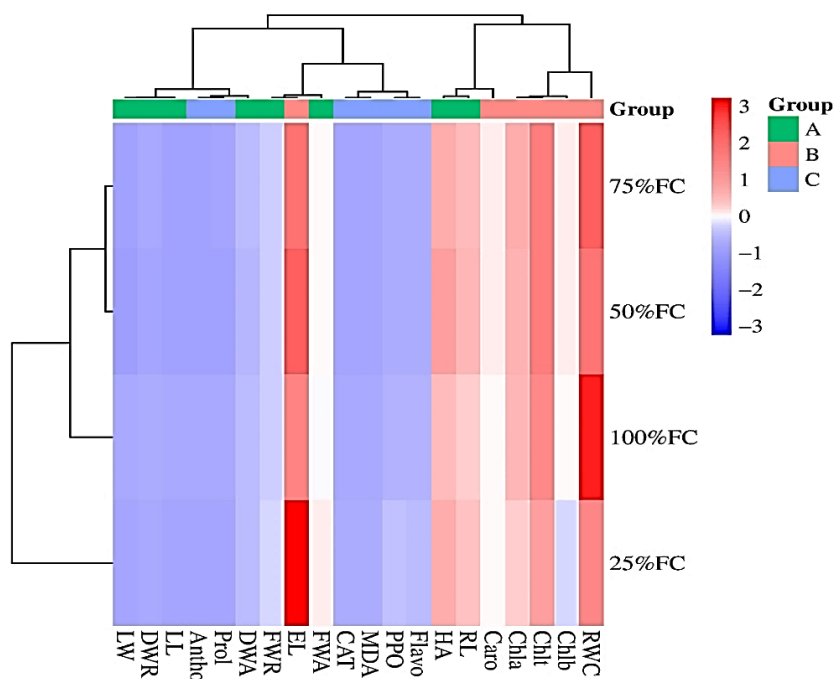
همبستگی‌های مثبت: الف) نشت یونی (EL) با فعالیت پلی‌فلل اکسیداز (PPO) و پرولین (PPO) در سطح تنش خشکی FC ۲۵ % همبستگی مثبت قوی داشت. ب) محتوای آب نسبی (RWC) با کلروفیل a، کلروفیل b و کلروفیل کل در سطح تنش خشکی FC ۱۰۰ % همبستگی مثبت داشت. ج) فعالیت کاتالاز (CAT) با پرولین (Prol) و مالون دی‌آلدهید (MDA) در سطح تنش خشکی FC ۲۵ % همبستگی مثبت داشت. د) فعالیت پلی‌فلل اکسیداز (PPO) با فلاونوئید (Flavo) و آنتوسیانین (Antho) در سطح تنش خشکی FC ۲۵ % همبستگی مثبت داشت.

همبستگی‌های منفی: الف) طول برگ (LL) و عرض برگ (LW) با نشت یونی (EL) و مالون دی‌آلدهید (MDA) در سطح تنش خشکی FC ۰.۲۵٪ همبستگی منفی داشت. ب) محتوای آب نسبی (RWC) با پرولین (RWC) پلی‌فلل اکسیداز (PPO)، کاتالاز (CAT)، آنتوسیانین (Antho) و فلاونوئید (Flavo) در سطح تنش خشکی FC ۰.۲۵٪ همبستگی منفی داشت. ج) وزن تر ریشه (FWR) و وزن خشک ریشه (DWR) با نشت یونی (EL) در سطح تنش خشکی FC ۰.۲۵٪ همبستگی منفی داشت.

**رگرسیون خطی:** مدل رگرسیونی طراحی شده به‌منظور پیش‌بینی وزن خشک بوته براساس مقادیر کلروفیل‌ها است تا بررسی شود که تغییرات در سطح کلروفیل‌ها چگونه می‌تواند وزن خشک بوته را پیش‌بینی کند. این تحلیل به شناسایی روابط بین ویژگی‌های فیزیولوژیکی گیاه و وزن خشک بوته (DWA) کمک می‌کند. در این مطالعه، وزن خشک بوته (DWA) به عنوان متغیر وابسته و مقادیر کلروفیل‌ها (کلروفیل a، کلروفیل b و کلروفیل کل t) به عنوان متغیرهای مستقل انتخاب شدند. ضریب تبیین ( $R^2$ ) برابر با ۹۹.۰٪ است. این مقدار به این معنی

همچنین، این ترکیبات به تنظیم فشار اسمزی و حفظ تعادل درون‌سلولی در شرایط کمبود آب یاری رسانده و به گیاهان Singh *et al.*, (2023) نتایج مقایسه میانگین‌ها نشان داد که بالاترین غلظت مالون دی‌آلدهید در شرایط تنش خشکی ۲۵٪ ظرفیت مزرعه مشاهده شد. در یک مطالعه میزان پراکسیداسیون لیپیدها در Shukla *et al.*, (2014) و برنج (Yaghoubian *et al.*, 2012) در شرایط تنش خشکی افزایش یافت که با نتایج پژوهش حاضر همسو است. در شرایط تنش خشکی، افزایش غلظت مالون دی‌آلدهید نشان دهنده تخریب غشای سلولی است. تنش خشکی باعث تولید گونه‌های فعل اکسیژن (ROS) می‌شود که به چربی‌های غشای سلولی آسیب می‌زنند و منجر به پراکسیداسیون لیپیدها می‌شوند. این فرآیند به وسیله آنزیم لیپوکسیزیناز تشدید شده و باعث افزایش سطح مالون دی‌آلدهید می‌شود. مطالعات پیشین نشان داده است که افزایش مالون دی‌آلدهید در آویشن دنایی *T. daenensis*, به کاهش میزان کلروفیل و فتوستتر منجر می‌شود و به عنوان یک نشان‌گر زیستی از آسیب‌های ناشی از استرس و حساسیت گیاهان به تنش‌های محیطی به‌ویژه تنش خشکی، شناخته می‌شود (Shahroudi *et al.*, 2023).

**نقشه حرارتی (HCA):** شکل ۲، یک نمودار نقشه حرارتی (Heatmap) با آنالیز خوشبندی (Cluster analysis) برای نمایش تغییرات صفات مورفولوژیکی، فیزیولوژیکی و بیوشیمیایی گیاهان تحت سطوح مختلف تنش خشکی (۰٪، ۵۰٪، ۷۵٪، ۲۵٪ و ۰٪ ظرفیت مزرعه) است. خوشبندی صفات نشان می‌دهد که چگونه این صفات بر اساس واکنش‌های مشابه به تنش خشکی گروه‌بندی شده‌اند. در این نمودار سطراها بیان‌گر نمونه‌های مختلف گیاهان هستند که با رنگ‌های مختلف (سبز، قرمز و آبی) مشخص شده‌اند و هر رنگ نمایان‌گر یک گروه (A، B و C) است. ستون‌ها نشان‌دهنده صفات مختلف مورفولوژیکی، فیزیولوژیکی و بیوشیمیایی هستند که نام هر صفت در پایین نمودار ذکر شده است. رنگ‌های مختلف در نقشه حرارتی نشان‌دهنده میزان تغییرات



شکل ۲- نقشه حرارتی (HCA)، نتایج همبستگی ساده بین صفات مورفولوژی، فیزیولوژی و بیوشیمیایی تحت سطوح تنش خشکی (۱۰۰٪، ۷۵٪، ۵۰٪ و ۲۵٪ ظرفیت مزرعه): طول برگ LW، عرض برگ LL، ارتفاع بوته HA، طول ریشه RL، وزن تر ساقه FWA، وزن خشک ساقه DWA، وزن تر ریشه FWR، وزن خشک ریشه Chl a، DWR کلروفیل a، Chl b کلروفیل b، Chl t کلروفیل کل، Caro کارتونوئید، Flavo محتوای آب نسبی، EL نشت یونی، CAT آنتوسیانین، MDA مالون دی‌آلدهید، PPO پرولین، RWC پلی‌فنل اکسیداز

رگرسیونی طراحی شده به منظور پیش‌بینی وزن خشک بوته بر اساس مقادیر کلروفیل‌ها بود تا بررسی شود که تغییرات در سطح کلروفیل‌ها چگونه می‌تواند وزن خشک بوته را پیش‌بینی کند. این تحلیل به شناسایی روابط بین ویژگی‌های فیزیولوژیکی گیاه و وزن خشک بوته کمک می‌کند. انتخاب کلروفیل‌ها به عنوان متغیرهای مستقل به طور مستقیم بر نرخ فتوستترز و به تبع آن بر میزان تولید بیوماس و وزن خشک بوته تأثیر می‌گذارند. تحلیل این متغیرها به صورت جداگانه و ترکیبی می‌تواند تأثیرات معنی‌دار را نشان دهد. درک ارتباط بین کلروفیل‌ها و وزن خشک بوته می‌تواند به بهبود روش‌های زراعی و مدیریت کشت کمک کند. به عنوان مثال، اگر رابطه قوی بین میزان کلروفیل و وزن خشک بوته یافت شود، این اطلاعات می‌تواند برای بهینه‌سازی تغذیه و شرایط رشد گیاه مورد استفاده قرار گیرد تا تولید زیست‌توده افزایش یابد.

**همبستگی پیرسون:** رنگ‌ها و اندازه دایره‌ها نشان‌دهنده

است که مدل رگرسیونی می‌تواند ۹۹/۰ از تغییرات وزن خشک بوته (DWA) را با استفاده از مقادیر کلروفیل‌ها توضیح دهد. به عبارت ساده، این مقدار نشان‌دهنده این است که مدل توانایی بالایی در پیش‌بینی وزن خشک بوته دارد و تقریباً تمامی تغییرات در این متغیر وابسته را بر اساس مقادیر ورودی کلروفیل‌ها پیش‌بینی می‌کند.

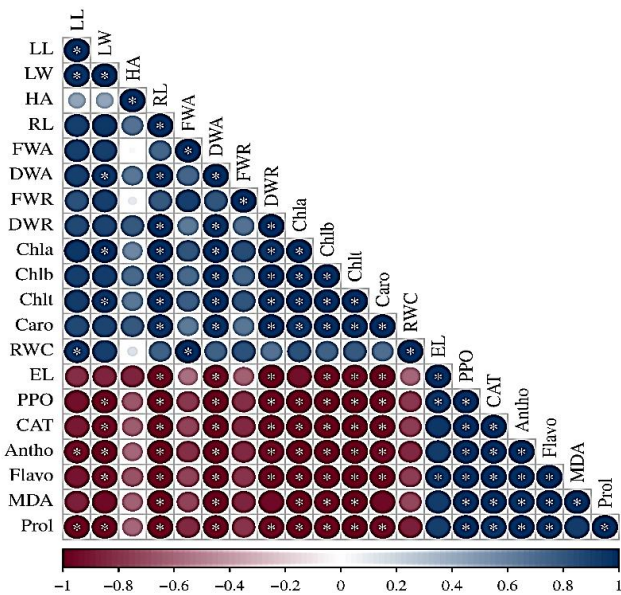
**دلایل انتخاب متغیر وابسته و مستقل: وزن خشک بوته به عنوان متغیر وابسته، یکی از معیارهای اصلی ارزیابی رشد و سلامت گیاه است. این متغیر مستقیماً با تولید زیست‌توده و توانایی رشد گیاه مرتبط است و بنابراین در مطالعات فیزیولوژیک و زراعی اهمیت زیادی دارد. کلروفیل a، کلروفیل b و کلروفیل کل به عنوان متغیرهای مستقل انتخاب شدند، زیرا نقش حیاتی در فرآیند فتوستترز دارند. میزان کلروفیل در برگ‌ها به عنوان شاخصی از کارایی فتوستترز گیاه عمل می‌کند و می‌تواند بر رشد و وزن خشک بوته تأثیرگذار باشد. مدل**

مدل رگرسیونی	F	P	R <sup>2</sup>
معادله			
$\text{DWA} = 3/147 + 0.034(\text{Chl a}) + 0.026(\text{Chl b}) + 0.0000 \times (\text{Chl t})$ وزن خشک بوته	۵۳/۷۵۳	۰/۰۹۶	۰/۹۹

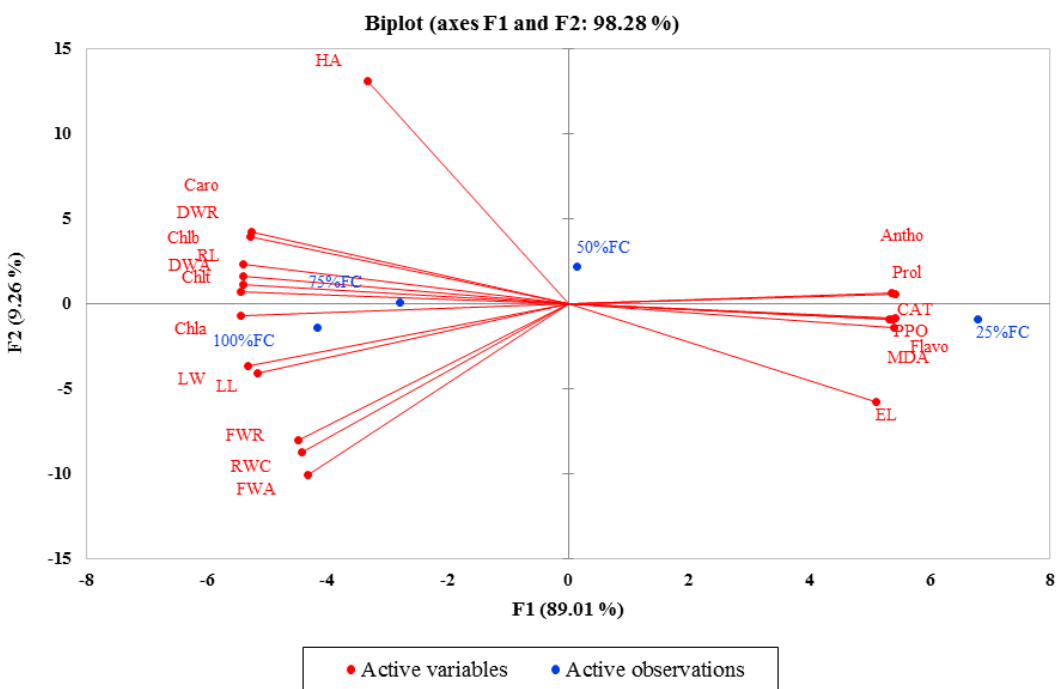
پرولین، مقدار فلاونوئید نیز افزایش یافت. همچنین، پلیفنل اکسیداز (PPO) با نشت یونی (EL) همبستگی مثبت داشت که نشان داد با افزایش پلیفنل اکسیداز، نشت یونی نیز افزایش یافت. این روابط همبستگی نشاندهنده چگونگی تغییرات مقابله این صفات در شرایط مختلف تنفس خشکی بودند و می‌توانند به محققان کمک کنند تا روابط بین این صفات را بهتر درک کنند.

**تحلیل مؤلفه‌های اصلی (PCA Analysis)**: شکل ۴، یک نمودار PCA biplot مشاهدات و متغیرهای مختلف را در فضای دو مؤلفه اصلی (F1, F2) نمایش می‌دهد. محور افقی (F1) ۸۹/۰٪ و محور عمودی (F2) ۹/۲۶٪ از واریانس داده‌ها را توضیح می‌دهند. در مجموع این دو محور ۹۸/۲۸٪ از واریانس کل را پوشش می‌دهند، که نشاندهنده تأثیر بسیار قوی این دو مؤلفه در تحلیل است. متغیرهای مختلف با خطوط قرمز رنگ و برچسب‌های قرمز نشان داده شده‌اند: متغیرهای مربوط به رشد گیاه مثل طول برگ (LL)، عرض برگ (LW)، ارتفاع بوته (FWA)، وزن تر و خشک ساقه و ریشه (HA)، وزن تر و خشک ساقه و ریشه (FWA, DWA, FWR, RWC)، وزن تر و خشک ساقه و ریشه (DWR) بیشتر به سمت چپ و بالا قرار گرفته‌اند که نشاندهنده رابطه مثبت و قوی بین این متغیرها و شرایط مناسب رشد گیاه در نبود تنفس یا سطوح پایین‌تر تنفس خشکی است. متغیرهای مربوط به محتوی کلروفیل‌ها (Chla, Chlb, Chlt) و کارتنتوئید (Caro) به سمت چپ و کمی بالاتر از محور افقی هستند که نشاندهنده این است که با افزایش تنفس خشکی، مقدار کلروفیل‌ها و کارتنتوئیدها کاهش می‌یابد، اما این کاهش آنقدر نیست که فتوستتر گیاه را به طور کامل مختل کند. به عبارت دیگر، خشکی به طور جزئی بر این رنگدانه‌ها اثر منفی دارد، اما گیاه همچنان می‌تواند به فتوستتر ادامه دهد. متغیرهای مربوط به مقاومت به تنفس خشکی مثل نشت یونی (EL)،

میزان و جهت همبستگی بین این صفات بودند. رنگ‌های آبی نشاندهنده همبستگی مثبت و رنگ‌های قرمز نشاندهنده همبستگی منفی بودند. هر چه اندازه دایره بزرگتر بود، همبستگی قوی‌تر بود. علامت ستاره در داخل دایره‌ها نشاندهنده معنی‌داری آماری همبستگی بود (شکل ۳). این ماتریس به پژوهشگران کمک می‌کند تا دریابند کدام صفات تحت شرایط تنفس خشکی با یکدیگر مرتبط هستند و چگونه این روابط می‌توانند بر عملکرد گیاه تأثیر بگذارند. بر اساس ماتریس همبستگی موجود در شکل، همبستگی مثبت قابل توجهی بین طول برگ (LL) و عرض برگ (LW) مشاهده شد، به طوری که با افزایش طول برگ، عرض برگ نیز افزایش یافت. کلروفیل a، کلروفیل b و کلروفیل کل نیز همبستگی مثبت قوی نشان دادند، به این معنی که افزایش یکی از این انواع کلروفیل معمولاً با افزایش دیگری همراه بود. وزن تر ساقه (FWA) و وزن خشک ساقه (DWA)، همچنین وزن تر ریشه (FWR) و وزن خشک ریشه (DWR) همبستگی مثبت قوی داشتند که نشان داد افزایش وزن تر با افزایش وزن خشک همراه بود. کارتنتوئید (Caro) نیز با کلروفیل‌ها همبستگی مثبت داشت، به این معنی که با افزایش کارتنتوئید، مقدار کلروفیل‌ها نیز افزایش یافت. از سوی دیگر، همبستگی منفی قابل توجهی بین محتوای آب نسبی (RWC) و نشت یونی (EL) وجود داشت که نشان داد با افزایش محتوای آب نسبی، نشت یونی MDA (RWC) با کاهش یافت. همچنین، محتوای آب نسبی (RWC) با همبستگی منفی داشت، به این معنی که با افزایش محتوای آب نسبی، مقدار (MDA) کاهش یافت. نشت یونی (EL) با فلاونوئید (Flavo) و کاتالاز (CAT) همبستگی منفی داشت که نشان داد با افزایش نشت یونی، مقدار فلاونوئید و فعالیت کاتالاز کاهش یافت. در عین حال، پرولین (Prol) با فلاونوئید (Flavo) همبستگی مثبت داشت، به این معنی که با افزایش



شکل ۳- همبستگی پیرسون بین پارامترهای اندازه‌گیری شده *T. vulgaris* تحت کنترل و سطوح تنش خشکی (۱۰۰٪، ۷۵٪، ۵۰٪ و ۲۵٪ ظرفیت مزرعه): طول برگ LL، عرض برگ LW، ارتفاع بوته HA، طول ریشه RL، وزن تر ساقه FWA، وزن خشک ساقه DWA، وزن تر ریشه FWR، وزن خشک ریشه DWR کلروفیل a Chl a کلروفیل b Chl b کلروفیل t Chl t کارتنوئید Caro، محتوای آب RWC، نشت یونی EL، محتوای آنتوکارپین CAT، مالون دی‌آلدهید PPO، فلاؤنونئید Flavo، مالون دی‌آلدهید MDA، پرولین Proline، پلی‌فلن اکسیداز Antho، کاتالاز CAT، آنتوسیانین Antho، فلاؤنونئین Flavo، آنتوکارپین CAT، مالون دی‌آلدهید PPO، فلاؤنونئید Flavo، مالون دی‌آلدهید MDA، پرولین Proline، پلی‌فلن اکسیداز EL.



شکل ۴- PCA- Biplot تجزیه به مؤلفه‌های اصلی: پراکنش دو بعدی صفات مورد ارزیابی تحت سطوح تنش خشکی (۱۰۰٪، ۷۵٪، ۵۰٪ و ۲۵٪ ظرفیت مزرعه): طول برگ LL، عرض برگ LW، ارتفاع بوته HA، طول ریشه RL، وزن تر ساقه FWA، وزن خشک ساقه DWA، وزن تر ریشه FWR، وزن خشک ریشه DWR کلروفیل a Chl a کلروفیل b Chl b کلروفیل t Chl t کارتنوئید Caro، محتوای آب RWC، نشت یونی EL، محتوای آنتوکارپین CAT، مالون دی‌آلدهید PPO، فلاؤنونئید Flavo، مالون دی‌آلدهید MDA، پرولین Proline، پلی‌فلن اکسیداز Antho، کاتالاز CAT، آنتوسیانین Antho، فلاؤنونئین Flavo، آنتوکارپین CAT، مالون دی‌آلدهید PPO، فلاؤنونئید Flavo، مالون دی‌آلدهید MDA، پرولین Proline، پلی‌فلن اکسیداز EL.

### نتیجه‌گیری

آویشن باگی به گونه سنتی در مناطق معتدل و سردسیر کشت می‌شود و اطلاعات محدودی در مورد قابلیت‌های آن برای تحمل شرایط تنفس خشکی در مناطق گرم و خشک مانند استان هرمزگان وجود دارد. با توجه به شرایط آب و هوایی خاص هرمزگان، که شامل دماهای بالا و کمبود آب است، نیاز به بررسی میزان تحمل این گیاه به تنفس خشکی احساس شد. یافته‌های این مطالعه نشان داد که آویشن باگی تحت تنفس خشکی، ویژگی‌های رشدی و عملکردی خود را برای سازگاری با شرایط خشک تغییر می‌دهد تیمار با ۷۵٪ و ۵۰٪ ظرفیت مزرعه تأثیر کمی بر این گیاه داشت، اما در شرایط تنفس شدید ۲۵٪ ظرفیت مزرعه، رشد گیاه به طور معنی‌داری کاهش یافت. در این شرایط، گیاهان با افزایش تولید مواد تنظیم‌کننده اسمزی، ظرفیت جذب آب خود را بهبود بخشدیدند و با افزایش فعالیت آنزیم‌های آنتی‌اکسیدانی، آسیب‌های ناشی از گونه‌های فعال اکسیژن را کاهش دادند. همچنین به نظر می‌رسد که تیمار با ۷۵٪ و ۵۰٪ ظرفیت مزرعه گزینه مناسبی برای کشت آویشن باگی در استان هرمزگان باشد. این سطح از تنفس خشکی می‌تواند به بهینه‌سازی مصرف آب و افزایش کارایی تولید در شرایط مشابه با وضعیت آب و هوایی هرمزگان کمک کند. نتایج این مطالعه می‌تواند به کشاورزان و متخصصان کمک کند تا روش‌های مناسب برای کشت آویشن باگی در شرایط خشک و نیمه‌خشک را شناسایی کرده و بهبود بخشد.

MDA، پرولین (Prol)، پلی‌فلن اکسیداز (PPO)، کاتالاز (CAT)، آنتوسیانین (Antho)، فلاونوئید (Flavo) بیشتر به سمت راست و پایین قرار گرفته‌اند که نشان‌دهنده رابطه مثبت و قوی بین این متغیرها و سطوح بالاتر تنفس خشکی است، که بیان‌گر افزایش فعالیت‌های بیوشیمیایی دفاعی و سازگاری گیاه در پاسخ به تنفس خشکی شدیدتر است. مشاهدات مختلف با نقاط آبی رنگ نمایش داده شده‌اند که نشان‌دهنده سطوح مختلف تنفس خشکی هستند. FC ۱۰۰٪ به مرکز نزدیک است، که نشان می‌دهد این سطح تنفس خشکی تقریباً تاثیری بر متغیرهای مختلف ندارد. FC ۷۵٪ به سمت چپ محور افقی قرار دارد، که نشان می‌دهد تأثیرات تنفس خشکی کمی بر برخی از متغیرهای رشد گیاه داشته است. تنفس متغیرهای رشد گیاه مثل LL، LW، FWA و FW به هم نزدیک هستند که نشان‌دهنده ارتباط مثبت بین این متغیرها است. همچنین، متغیرهای مقاومت به تنفس خشکی مثل EL، MDA، PPO، Antho، CAT و Flavo به هم نزدیک هستند که نشان‌دهنده ارتباط مثبت بین این متغیرها است. با افزایش سطح تنفس خشکی از FC ۱۰۰٪ به ۷۵٪ تأثیرات تنفس خشکی بیشتر بر متغیرهای مقاومت به تنفس خشکی قبل مشاهده است. این با پلات نشان‌دهنده تأثیرات مختلف سطوح تنفس خشکی بر صفات فیزیولوژیکی و بیوشیمیایی گیاه است و می‌تواند به محققان کمک کند تا بفهمند کدام صفات تحت شرایط تنفس خشکی بیشتر تغییر می‌کنند و چگونه این صفات با هم مرتبط هستند.

### منابع

- لرستانی، شیدا، قبولی، مهدی، موحدی، زهراء، و کریمی، روح‌الله (۱۳۹۷). بررسی تأثیر قارچ *Piriformospora indica* بر برخی صفات مورفو‌فیزیولوژیک گیاه دارویی سنبل الطیب (*Valeriana officinalis* L.) در شرایط تنفس خشکی. *فیزیولوژی محیطی گیاهی* [پژوهش‌های اکوفیزیولوژی گیاهی ایران]، ۱۳(۲)، ۴۱-۵۲.
- Abdelshafy Mohamad, O. A., Ma, J. B., Liu, Y. H., Zhang, D., Hua, S., Bhute, S., Hedlund, B. P., Li, W. J., & Li, L. (2020). Beneficial endophytic bacterial populations associated with medicinal plant *Thymus vulgaris* alleviate salt stress and confer resistance to *Fusarium oxysporum*. *Frontiers in Plant Science*, 11, 47. <https://doi.org/10.3389/fpls.2020.00047>
- Altaf, A., Gull, S., Zhu, X., Zhu, M., Rasool, G., Ibrahim, M. E. H., Aleem, M., Uddin, S., Saeed, A., & Shah, A. Z. (2021). Study of the effect of peg-6000 imposed drought stress on wheat (*Triticum aestivum* L.) cultivars using relative water content (RWC) and proline content analysis. *Pakistan Journal of Agricultural Sciences*, 58(1). <https://doi.org/10.21162/PAKJAS/21.953>

- Asghari, B., Khademian, R., & Sedaghati, B. (2020). Plant growth promoting rhizobacteria (PGPR) confer drought resistance and stimulate biosynthesis of secondary metabolites in pennyroyal (*Mentha pulegium* L.) under water shortage condition. *Scientia Horticulturae*, 263, 109132. <https://doi.org/10.1016/j.scienta.2019.109132>
- Azizi, S., Zare, N., Sheikhzadeh, P., Azizi, J., & Karimizadeh, R. (2024). Evaluation of the physiological and biochemical response of cultivars *Lens culinaris* to drought stress and re-irrigation. *Environmental Stresses in Crop Sciences*. <https://doi.org/10.22077/escs.2024.6428.2213>
- Azizzadeh Namin, S., & Heshmati, S. (2024). Effect of biochar on flower yield and growth and physiological characteristics of *Althaea officinalis* L. under drought stress. *Journal of Plant Production Research*. 10.22069/JOPP.2024.22575.3158
- Bahreininejad, B., Razmjou, J., & Mirza, M. (2013). Influence of water stress on morpho-physiological and phytochemical traits in *Thymus daenensis*. <https://www.ijpp.info>
- Bates, L. S., Waldren, R. A., & Teare, I. (1973). Rapid determination of free proline for water-stress studies. *Plant and Soil*, 39, 205-207. <https://doi.org/10.1007/BF00018060>
- Bergmeyer, H. U. (2012). Methods of Enzymatic Analysis. Elsevier.
- Bistgani, Z. E., Barker, A. V., & Hashemi, M. (2024). Physiology of medicinal and aromatic plants under drought stress. *The Crop Journal*. <https://doi.org/10.1016/j.cj.2023.12.003>
- Bouremani, N., Cherif-Silini, H., Silini, A., Bouket, A. C., Luptakova, L., Alenezi, F. N., Baranov, O., & Belbahri, L. (2023). Plant growth-promoting rhizobacteria (PGPR): A rampart against the adverse effects of drought stress. *Water*, 15(3), 418. <https://doi.org/10.3390/w15030418>
- Casiglia, S., Bruno, M., Scandolera, E., Senatore, F., & Senatore, F. (2019). Influence of harvesting time on composition of the essential oil of *Thymus capitatus* (L.) Hoffmanns. & Link. growing wild in northern Sicily and its activity on microorganisms affecting historical art crafts. *Arabian Journal of Chemistry*, 12(8), 2704-2712. <https://doi.org/10.1016/j.arabjc.2015.05.017>
- Chiappero, J., del Rosario Cappellari, L., Alderete, L. G. S., Palermo, T. B., & Banchio, E. (2019). Plant growth promoting rhizobacteria improve the antioxidant status in *Mentha piperita* grown under drought stress leading to an enhancement of plant growth and total phenolic content. *Industrial Crops and Products*, 139, 111553. <https://doi.org/10.1016/j.indcrop.2019.111553>
- Cooper, M., & Messina, C. D. (2023). Breeding crops for drought-affected environments and improved climate resilience. *The Plant Cell*, 35(1), 162-186. <https://doi.org/10.1093/plcell/koac321>
- Du, Z., & Bramlage, W. J. (1992). Modified thiobarbituric acid assay for measuring lipid oxidation in sugar-rich plant tissue extracts. *Journal of Agricultural and Food Chemistry*, 40(9), 1566-1570. <http://pascal-francis.inist.fr/vibad/index.php?action=getRecordDetail&idt=4691137>
- Fanai, S., Bakhshi, D., & Abbaszadeh, B. (2024). Physiological and biochemical characteristics of milk thistle (*Silybum marianum* (L.) Gaertn) as affected by some plant growth regulators. *Food Science and Nutrition*. <https://doi.org/10.1002/fsn3.4233>
- Gai, J., Wang, J., Xie, S., Xiang, L., & Wang, Z. (2024). Spectroscopic determination of chlorophyll content in sugarcane leaves for drought stress detection. *Precision Agriculture*, 25(2), 543-569. <https://doi.org/10.1007/s11119-023-10082-0>
- Gharib, F., Zeid, I. M., Salem, O., & Ahmed, E. Z. (2014). Effects of *Sargassum latifolium* extract on growth, oil content and enzymatic activities of rosemary plants under salinity stress. *Life sciences Journal*, 11(10), 933-945. <http://www.lifesciencesite.com>
- Hasanuzzaman, M., Nahar, K., & Fujita, M. (2013). Plant response to salt stress and role of exogenous protectants to mitigate salt-induced damages. *Ecophysiology and Responses of Plants under Salt Stress*, 25-87. [https://doi.org/10.1007/978-1-4614-4747-4\\_2](https://doi.org/10.1007/978-1-4614-4747-4_2)
- Hassan, F., Ali, E., & El-Zahrany, O. (2013). Effect of amino acids application and different water regimes on the growth and volatile oil of *Rosmarinus officinalis* L. plant under Taif region conditions. *European Journal of Scientific Research*, 101(3), 346-359. <http://www.europeanjournalofscientificresearch.com>
- Hlavacova, M., Klem, K., Rapantova, B., Novotna, K., Urban, O., Hlavinka, P., Smutna, P., Horakova, V., Skarpa, P., & Pohankova, E. (2018). Interactive effects of high temperature and drought stress during stem elongation, anthesis and early grain filling on the yield formation and photosynthesis of winter wheat. *Field Crops Research*, 221, 182-195. <https://doi.org/10.1016/j.fcr.2018.02.022>
- Kang, S., Hao, X., Du, T., Tong, L., Su, X., Lu, H., Li, X., Huo, Z., Li, S., & Ding, R. (2017). Improving agricultural water productivity to ensure food security in China under changing environment: From research to practice. *Agricultural Water Management*, 179, 5-17. <https://doi.org/10.1016/j.agwat.2016.05.007>
- Khan, M. S., & Zulfiqar, I. (2023). Microbial Mitigation of Drought Stress in Plants: Adaptations to Climate Change. <https://doi.org/10.5772/intechopen.109669>
- Khorasaninejad, S., Mousavi, A., Soltanloo, H., Hemmati, K., & Khalighi, A. (2011). The effect of drought stress on growth parameters, essential oil yield and constituent of Peppermint (*Mentha piperita* L.). *Journal of Medicinal*

- Plants Research*, 5(22), 5360-5365. <https://doi.org/10.13187/ejmb.2015.8.103>
- Koc, C., Ulusu, F., & Ulusu, Y. (2024). Physio-biochemical responses of registered bread wheat (*Triticum aestivum* L.) genotypes to drought stress: Variations in antioxidant parameters and photosynthetic pigment amounts. *Anatolian Journal of Botany*, 8(1), 1-10. <https://doi.org/10.30616/ajb.1369278>
- Kong, L., Chen, P., & Chang, C. (2023). Drought resistance and ginsenosides biosynthesis in response to abscisic acid in *Panax ginseng* CA Meyer. *International Journal of Molecular Sciences*, 24(11), 9194. <https://doi.org/10.3390/ijms24119194>
- Kumar, D., Punetha, A., Khan, A., Suryavanshi, P., Yogendra, N., & Padalia, R. (2024). Assessment of soil moisture stress induced variability in oil content and composition in mint species. *Biochemical Systematics and Ecology*, 113, 104774. <https://doi.org/10.1016/j.bse.2023.104774>
- Laftouhi, A., Mahraz, M. A., Hmamou, A., Assouguem, A., Ullah, R., Bari, A., Lahlali, R., Ercisli, S., Kaur, S., & Idrissi, A. M. (2024). Analysis of primary and secondary metabolites, physical properties, antioxidant and antidiabetic activities, and chemical composition of *Rosmarinus officinalis* essential oils under differential water stress conditions. *ACS Omega*, 9(14), 16656-16664. <https://doi.org/10.1021/acsomega.4c00653>
- Lata, C., Kumar, A., Rani, S., Soni, S., Kaur, G., Kumar, N., ... & Singh, A. (2019). Physiological and molecular traits conferring salt tolerance in halophytic grasses. *Journal of Environmental Biology*, 40(5), 1052-1059. <https://doi.org/10.22438/ieb/40/5/MRN-1089>
- Li, Z., Han, Y., Li, X., Zhao, J., Wang, N., Wen, Y., Li, T., Su, H., Gao, L., & Xia, T. (2024). The phosphorylation of a WD40-repeat protein negatively regulates flavonoid biosynthesis in *Camellia sinensis* under drought stress. *Horticulture Research*, uhae136. <https://doi.org/10.1093/hr/uhae136>
- Lichtenthaler, H. K., & Buschmann, C. (2001). Chlorophylls and carotenoids: Measurement and characterization by UV-VIS spectroscopy. *Current Protocols in Food Analytical Chemistry*, 1(1), F4. 3.1-F4. 3.8. <https://doi.org/10.1002/0471142913.faf0403s01>
- Madouh, T. A., & Quoreshi, A. M. (2023). The function of arbuscular mycorrhizal fungi associated with drought stress resistance in native plants of arid desert ecosystems: A review. *Diversity*, 15(3), 391. <https://doi.org/10.3390/d15030391>
- Mehrasha, H., Farnia, A., Kenarsari, M. J., & Nakhjavani, S. (2022). Endophytic bacteria and SA application improve growth, biochemical properties, and nutrient uptake in white beans under drought stress. *Journal of Soil Science and Plant Nutrition*, 22(3), 3268-3279. <https://doi.org/10.1007/s42729-022-00884-y>
- Moradi, P., Ford-Lloyd, B., & Pritchard, J. (2014). Plant-water responses of different medicinal plant thyme (*Thymus* spp.) species to drought stress condition. *Australian Journal of Crop Science*, 8(5), 666-673. <https://doi.org/10.3316/informat.370656880873980>
- Morgan, J. A. (1984). Interaction of water supply and N in wheat. *Plant Physiology*, 76(1), 112-117. <https://doi.org/10.1104/pp.76.1.112>
- Mozaffari, S., & Gorgini Shabankareh, H. (2016). Effects of Irrigation content based on field capacity percent and Hiumic acid on morphophysiological traits on medicinal plant (*Portulaca oleracea* L.). *Journal of Crop Production*, 9(3), 153-175. <https://doi.org/10.22069/ejcp.2016.10754.1849>
- Nadernejad, N., Ahmadimoghadam, A., Hossyinifard, J., & Poorseyedi, S. (2013). Study of the rootstock and cultivar effect in PAL activity, production of phenolic and flavonoid compounds on flower, leaf and fruit in Pistachio (*Pistacia vera* L.). *Journal of Plant Biological Sciences*, 5(15), 95-110. <https://dorl.net/dor/20.1001.1.20088264.1392.5.15.9.5>
- Narayanasamy, S., Thankappan, S., Kumaravel, S., Ragupathi, S., & Uthandi, S. (2023). Complete genome sequence analysis of a plant growth-promoting phylloplane *Bacillus altitudinis* FD48 offers mechanistic insights into priming drought stress tolerance in rice. *Genomics*, 115(1), 110550. <https://doi.org/10.1016/j.ygeno.2022.110550>
- Nasr Esfahani, M. (2013). Effect of dry stress on growth and antioxidant system in three chickpea (*Cicer arietinum* L.) cultivars. *Iranian Journal of Plant Biology*, 5(15), 111-124. <https://dorl.net/dor/20.1001.1.20088264.1392.5.15.10.6>
- Nor, N. M., Pa'ee, F., & Manan, N. (2021). The effect of water stress on growth rate in *Mentha arvensis*. IOP Conference Series: Earth and Environmental Science. <https://dorl.net/dor/10.1088/1755-1315/736/1/012040>
- Nteve, G. M., Kostas, S., Polidoros, A. N., Madesis, P., & Nianou-Obeidat, I. (2024). Adaptation mechanisms of olive tree under drought stress: The potential of modern omics approaches. *Agriculture*, 14(4), 579. <https://doi.org/10.3390/agriculture14040579>
- Osakabe, Y., Osakabe, K., Shinozaki, K., & Tran, L. S. P. (2014). Response of plants to water stress. *Frontiers in Plant Science*, 5, 86. <https://doi.org/10.3389/fpls.2014.00086>
- Pandey, J., Devadasu, E., Saini, D., Dhokne, K., Marriboina, S., Raghavendra, A. S., & Subramanyam, R. (2023). Reversible changes in structure and function of photosynthetic apparatus of pea (*Pisum sativum*) leaves under drought stress. *The Plant Journal*, 113(1), 60-74. <https://doi.org/10.1111/tpj.16034>
- Popoola, J. O., Oyelakin, A. S., Ifemazi, C. F., Aworunse, O. S., Ojuederie, O. B., Agbolade, J., & Krishnamurthy, R. (2024). Resilience in hyacinth Bean (*Lablab purpureus* (L.) Sweet): A combined approach of relative water content

- and gene expression analysis for drought tolerance. *Journal of Underutilized Legumes*, 6(1), 1-16. <https://sulegumes.org/>
- Rahimi, Y., Taleei, A., & Ranjbar, M. (2018). Long-term water deficit modulates antioxidant capacity of peppermint (*Mentha piperita L.*). *Scientia Horticulturae*, 237, 36-43. <https://doi.org/10.1016/j.scienta.2018.04.004>
- Rasheed, A., Zhao, L., Raza, A., Mahmood, A., Xing, H., Lv, X., Saeed, H., Alqahtani, F. M., Hashem, M., & Hassan, M. U. (2023). Role of molecular breeding tools in enhancing the breeding of drought-resilient cotton genotypes: An updated review. *Water*, 15(7), 1377. <https://doi.org/10.3390/w15071377>
- Sairam, R. K., Rao, K. V., & Srivastava, G. (2002). Differential response of wheat genotypes to long term salinity stress in relation to oxidative stress, antioxidant activity and osmolyte concentration. *Plant Science*, 163(5), 1037-1046. [https://doi.org/10.1016/S0168-9452\(02\)00278-9](https://doi.org/10.1016/S0168-9452(02)00278-9)
- Shadkam, S., Sharafi, S., Yazdan Seta, S., Mir Mahmoodi, T., & Habibi, F. (2024). The effect of foliar application of different nano fertilizers on the quantitative and qualitative characteristics of peppermint (*Mentha piperita L.*) under water stress conditions. *Environmental Stresses in Crop Sciences*. <https://doi.org/10.22077/escs.2023.5805.2177>
- Shahroudi, E., Zarinkamar, F., & Rezayian, M. (2023). Putrescin modulates metabolic and physiological characteristics of *Thymus daenensis* under drought stress. *Scientia Horticulturae*, 321, 112268. <https://doi.org/10.1016/j.scienta.2023.112268>
- Shapiro, S. S., & Wilk, M. B. (1965). An analysis of variance test for normality (complete samples). *Biometrika*, 52(3-4), 591-611. <https://doi.org/10.1093/biomet/52.3-4.4591>
- Shojaei Baghini, M. H., & Naghizadeh, M. (2024). Evaluation of the effect of foliar application of brassinosteroid and melatonin on some physiological, grain yield and cumin (*Cuminum cyminum L.*) essential oil under drought stress conditions. *Iranian Journal of Medicinal and Aromatic Plants Research*, 40(1), 155-173. <https://doi.org/10.22092/ijmapr.2023.362048.3310>
- Shukla, N., Awasthi, R., Rawat, L., & Kumar, J. (2012). Biochemical and physiological responses of rice (*Oryza sativa L.*) as influenced by *Trichoderma harzianum* under drought stress. *Plant Physiology and Biochemistry*, 54, 78-88. <https://doi.org/10.1016/j.plaphy.2012.02.001>
- Silva, A. S., Tewari, D., Sureda, A., Suntar, I., Belwal, T., Battino, M., Nabavi, S. M., & Nabavi, S. F. (2021). The evidence of health benefits and food applications of *Thymus vulgaris L.* *Trends in Food Science and Technology*, 117, 218-227. <https://doi.org/10.1016/j.tifs.2021.11.010>
- Singh, M., Sharma, J. G., & Giri, B. (2023). Microbial inoculants alter resilience towards drought stress in wheat plants. *Plant Growth Regulation*, 101(3), 823-843. <https://doi.org/10.1007/s10725-023-01059>
- Toor, R. K., & Savage, G. P. (2005). Antioxidant activity in different fractions of tomatoes. *Food Research International*, 38(5), 487-494. <https://doi.org/10.1016/j.foodres.2004.10.016>
- Wang, Y., Chen, G., Zeng, F., Han, Z., Qiu, C. W., Zeng, M., Yang, Z., Xu, F., Wu, D., & Deng, F. (2023). Molecular evidence for adaptive evolution of drought tolerance in wild cereals. *New Phytologist*, 237(2), 497-514. <https://doi.org/10.1111/nph.18560>
- Yaghoubian, Y., Goltapeh, E. M., Pirdashti, H., Esfandiari, E., Feiziasl, V., Dolatabadi, H. K., Varma, A., & Hassim, M. H. (2014). Effect of *Glomus mosseae* and *Piriformospora indica* on growth and antioxidant defense responses of wheat plants under drought stress. *Agricultural Research*, 3, 239-245. <https://doi.org/10.1007/s40003-014-0114-x>
- Yang, L. L., Yang, L., Yang, X., Zhang, T., Lan, Y. M., Zhao, Y., Han, M., & Yang, L. M. (2020). Drought stress induces biosynthesis of flavonoids in leaves and saikosaponins in roots of *Bupleurum chinense DC.* *Phytochemistry*, 177, 112434. <https://doi.org/10.1016/j.phytochem.2020.112434>
- Yang, Z., & Qin, F. (2023). The battle of crops against drought: Genetic dissection and improvement. *Journal of Integrative Plant Biology*, 65(2), 496-525. <https://doi.org/10.1111/jipb.13451>
- Yarnia, M., Behrouzyar, E. K., Mirshekari, B., & Rashidi, V. (2024). Effects of bio-fertilizers and different levels of phosphorus on biochemical traits, essential oils, and antioxidant enzymes in Lavender (*Lavandula Angustifolia*) under water stress. <https://doi.org/10.21203/rs.3.rs-3934553/v1>
- Yazdi, M. E. T., Khara, J., Housaindokht, M. R., Sadeghnia, H. R., Bahabadid, S. E., Amiri, M. S., & Darroudi, M. (2018). Biocomponents and antioxidant activity of *Ribes khorasanicum*. *International Journal of Basic Science in Medicine*, 3(3), 99-103. <https://doi.org/10.15171/ijbsm.2018.18>
- Zhao, X., Yuan, X., Xing, Y., Dao, J., Zhao, D., Li, Y., Li, W., & Wang, Z. (2023). A meta-analysis on morphological, physiological and biochemical responses of plants with PGPR inoculation under drought stress. *Plant, Cell and Environment*, 46(1), 199-214. <https://doi.org/10.1111/pce.14466>
- Zhu, Y., Xi, K., Ma, H., Yang, P., Wang, Y., Li, H., Yin, J., Qin, M., & Liu, Y. (2024). Exogenous silica nanoparticles improve drought tolerance in ginger by modulating the water relationship. *Environmental Science: Nano*, 11(3), 1259-1270. <https://doi.org/10.1039/D3EN00903C>

## Effects of Drought Stress on Morphophysiological and Biochemical Characteristics of *Thymus vulgaris* L.

Afsoun Kamyab<sup>1</sup>, Davood Samsampour<sup>1\*</sup>, Navid Ahmadi nasab<sup>2</sup>, Abdonnabi Bagheri<sup>3</sup>

<sup>1</sup>Department of Horticultural Science, University of Hormozgan, Bandar Abbas, Iran

<sup>2</sup>Hormozgan studies and research center, University of Hormozgan, Bandar Abbas, Iran

<sup>3</sup>Department of Plant Protection Research, Hormozgan Agricultural and Natural Resources Research and Education Center, Agricultural Research, Education and Extension Organization (AREEO), Bandar Abbas, Iran

(Received: 2024/07/27, Accepted: 2024/08/27)

### Abstract

*Thymus vulgaris* L. is an aromatic plant belonging to the Lamiaceae family, known for its valuable medicinal and nutritional properties. Drought stress, as one of the most significant abiotic stresses, can have adverse effects on the growth and performance of medicinal plants. To investigate the effect of drought stress on some morphological, physiological, and biochemical traits of thyme, an experiment was conducted in a completely randomized design with four levels of drought stress (100%, 75%, 50%, and 25% of field capacity) with three replications in 2021 in the greenhouse of Hormozgan University. The results showed that drought stress (25% of field capacity) significantly reduced leaf length (64%), leaf width (33%), plant height (51.13%), root length (49.4%), fresh weight of aerial parts (4.04%) and dry weight of aerial parts (7.5%), dry weight of roots (9.7%), relative water content (54.23%), chlorophyll a (31.45%), chlorophyll b (31.29%), total chlorophyll (31.38%), and carotenoids (22.35%). The highest levels of electrolyte leakage (34.56%), proline (53.12%), catalase (68.47%), polyphenol oxidase (51.52%), malondialdehyde (55.84%), flavonoids (59.23%), and anthocyanins (61.29%) were observed in the 25% field capacity drought stress treatment. The medicinal plant thyme responds to drought stress by employing various defense mechanisms. These mechanisms include reducing certain morphological characteristics to conserve energy, rapidly accumulating osmotic regulatory organic compounds to maintain cellular water balance, and increasing antioxidant enzyme activities to combat oxidative stress. Through these responses, thyme can continue to grow and absorb the necessary nutrients with higher efficiency. The primary objective of this research was to evaluate the drought tolerance of thyme and determine the most suitable conditions (75% and 50% of field capacity) for cultivating this plant in Hormozgan Province. Given that thyme is not widely cultivated in this region, examining the plant's response to drought stress could provide valuable information for expanding its cultivation in similar areas.

**Keywords:** Antioxidant enzymes, Biochemical parameters, Drought stress, *Thymus vulgaris*

Corresponding author, Email: samsampoor@hormozgan.ac.ir